

УДК 519.254:519.674

А.Я. Білецький, д-р техн. наук, проф.,  
П.О. Приставка, канд. техн. наук, доц.

## ПОБУДОВА ПРОСТОРОВИХ МОДЕЛЕЙ У СИСТЕМІ МОНІТОРИНГУ ЗА ДАНИМИ СПОСТЕРЕЖЕНЬ НА МІСЦЕВОСТІ

Запропоновано інформаційну технологію з використанням процедури регуляризації даних та локальних поліноміальних сплайнів для побудови реалістичних моделей розповсюдження техногенних забруднень. Наведено приклад застосування технології за даними в зоні спостереження хвостосховища радіоактивних відходів.

Під інформаційною технологією побудови реалістичних моделей місцевості з накладенням на них поверхонь концентрацій елементів забруднення (радіоактивне випромінювання, токсичні речовини у складі ґрунту, важкі метали, що накопичуються в наземних рослинах тощо) будемо розуміти групу алгоритмів, які забезпечують ефективне розв'язання поставленої задачі, відповідають вимогам адекватності моделі та є невибагливими при реалізації у вигляді прикладного програмного забезпечення. Фактично розв'язання такої задачі складається з чотирьох етапів:

- збирання та підготовки даних до обробки (моніторинг);
- побудови макету місцевості (задача інтерполяції даних);
- побудови поверхні концентрації хімічних елементів з накладанням на макет місцевості;
- аналізу одержаних результатів.

Дані спостережень, які підлягають обробці, можуть бути зображені двома типами масивів: замірами, що проводилися на регулярній сітці, та нерегулярними спостереженнями. Для побудови моделі місцевості краще провести підготовку масиву регулярних даних (наприклад – оцифровування карти висот над рівнем моря):

$$\{(t_i, q_j, p_{i,j}), i = \overline{1, n}, j = \overline{1, m}\},$$

де  $t$  – відносна координата у напрямку північ–півден;  $q$  – координата у напрямку схід–захід;  $p$  – висота;  $n, m$  – кількість даних у відповідних напрямах.

При великому обсязі даних достатньо обмежитися візуалізацією одержаного масиву. З метою поповнити дані пропонується наступний підхід. Нехай маємо спостереження реалізації за характеристиками  $T, Q$  об'єкта, що є аргументами деякої  $p(t, q)$  функції. Зафіксуємо два розбиття  $\Delta_{h_t}, \Delta_{h_q}$  осей спостереження точками  $t_i = ih_t, q_j = jh_q$  ( $i, j \in Z$ ) з кроком  $h_t$  і  $h_q$ , відповідно до яких задається  $\Delta_{h_t, h_q}$  розбиття площини спостереження і за яким будемо шукати наближення функції  $p(t, q)$  у вигляді локального сплайну [1]:

$$S_{2,0}(p, t, q) = \sum_{i \in Z} \sum_{j \in Z} B_{2, h_t}(t - ih_t) B_{2, h_q}(q - jh_q) p_{i,j}.$$

де з урахуванням відповідного аргументу

$$B_{2, h_t}(l) = \begin{cases} 0, & |l| \geq 3h_t/2, \\ (3 + 2l/h_t)^2/8, & l \in [-3h_t/2; -h_t/2], \\ 3/4 - (2l/h_t)^2/4, & l \in [-h_t/2; h_t/2], \\ (3 - 2l/h_t)^2/8, & l \in [h_t/2; 3h_t/2], \end{cases} \quad l = t, q.$$

Сплайн  $S_{2,0}(p, t, q)$  за рахунок свого аналітичного зображення дозволяє одержати будь-яку кількість даних для подальшої візуалізації та має високу якість апроксимації [2]. Так, для  $\forall p(t, q) \in C^{2,2}$  відбувається

$$\|p(t, q) - S_{2,0}(p, t, q)\| \leq \frac{h_t^2}{6} \|p''_{t^2}(t, q)\| + \frac{h_q^2}{6} \|p''_{q^2}(t, q)\| + \frac{h_t^2 h_q^2}{36} \|p^{(4)}_{t^2 q^2}(t, q)\| + \varepsilon \|p(t, q)\| + O(h^4),$$

де  $\varepsilon = \max_{i,j} \{\varepsilon_{i,j}\}$ ;  $\varepsilon_{i,j}$  – похибка;  $h = \max\{h_t, h_q\}$ .

При побудові поверхонь концентрацій елементів екологічного забруднення через специфіку проведення замірів часто маємо справу з нерегулярними даними. Постановка задачі на побудову поверхні за такими даними може відрізнятися від наведеної лише пунктом попередньої регуляризації даних. Згідно з роботою [3] наведемо викладення ітераційної процедури регуляризації даних.

Нехай існує деяка функція  $z = f(x, y)$ ,  $f(x, y) \in C^{2,2}$  і задано масив  $P = \{p_s; s = \overline{1, N}\}$ , де  $p_s$  – точка тривимірного евклідового простору з координатами  $p_s : \{\chi_s; v_s; \zeta_s\}$ .

Будемо вважати, що для будь-яких координат  $\chi_s, v_s, s = \overline{1, N}$  виконується:

$$\chi_s \in [x_{\min}; x_{\max}], \quad v_s \in [y_{\min}; y_{\max}],$$

де точки

$$\{x_{\min}; y_{\min}\} \text{ і } \{x_{\max}; y_{\max}\}$$

визначають деяку прямокутну область  $\Delta$  (рис. 1).

За масивом  $P = \{p_s; s = \overline{1, N}\}$  будемо шукати рівномірне розбиття області  $\Delta$  на прямокутні області  $\Delta_{ij}$ ,  $i, j = \overline{0, M-1}$ , у кожному  $(i, j)$ -му елементі якого отримували б наближення функції  $f(x, y)$ .

Розбиття області  $\Delta$  будемо проводити ітераційно. Для кожної  $k$ -ї ітерації ( $k = 1, 2, \dots$ ) елементи розбиття  $\Delta^{(k)}$  визначаються таким способом:

$$\bigcup \Delta_{ij}^{(k)} = \Delta^{(k)} = \Delta; \quad \Delta_{ij}^{(k)} : \left\{ \begin{array}{l} (xb_{ij}^k; yb_{ij}^k); \\ (xe_{ij}^k; ye_{ij}^k) \end{array} \right\},$$

$$\text{де } xb_{ij}^k = x_{\min} + i \cdot \frac{x_{\max} - x_{\min}}{2^k};$$

$$yb_{ij}^k = y_{\min} + j \cdot \frac{y_{\max} - y_{\min}}{2^k};$$

$$xe_{ij}^k = x_{\min} + (i+1) \cdot \frac{x_{\max} - x_{\min}}{2^k};$$

$$ye_{ij}^k = y_{\min} + (j+1) \cdot \frac{y_{\max} - y_{\min}}{2^k};$$

$$i, j = \overline{0, 2^k - 1}.$$

Центральна точка області  $\Delta_{ij}^{(k)}$  визначається координатами (рис. 2):

$$\delta_{ij}^{(k)} : \{x_{ij}^{(k)}; y_{ij}^{(k)}\};$$

$$x_{ij}^{(k)} = x_{\min} + \left(i + \frac{1}{2}\right) \cdot \frac{x_{\max} - x_{\min}}{2^k};$$

$$y_{ij}^{(k)} = y_{\min} + \left(j + \frac{1}{2}\right) \cdot \frac{y_{\max} - y_{\min}}{2^k}.$$

Значення  $z_{ij}^{(k)}$  функції  $z = f(x, y)$  в області  $\Delta_{ij}^{(k)}$ , а отже і у точці  $\delta_{ij}^{(k)} : \{x_{ij}^{(k)}; y_{ij}^{(k)}\}$  будемо визначати так:

$$z_{ij}^{(k)} = \frac{\sum_{s=1}^N \zeta_s \cdot I_{s;(ij)}^{(k)}}{N_{ij}^{(k)}} + z_{ef}^{(k-1)} \cdot J_{ij}^{(k)},$$

де

$$I_{s;(ij)}^{(k)} = \begin{cases} 1, & \left( i = \left[ 2^k \frac{x_s - x_{\min}}{x_{\max} - x_{\min}} \right] \right) \cup \left( j = \left[ 2^k \frac{y_s - y_{\min}}{y_{\max} - y_{\min}} \right] \right); \\ 0, & \text{у будь-якому іншому разі}; \end{cases}$$

$$N_{ij}^{(k)} = \begin{cases} \sum_{s=1}^N I_{s;(ij)}^{(k)}, & \sum_{s=1}^N I_{s;(ij)}^{(k)} > 0; \\ 1, & \sum_{s=1}^N I_{s;(ij)}^{(k)} = 0; \end{cases}$$

$$J_{ij}^{(k)} = \begin{cases} 1, & N_{ij}^{(k)} = 1; \\ 0, & N_{ij}^{(k)} \neq 1; \end{cases}$$

$$e = \left[ 2^{k-1} \frac{x_{ij}^{(k)} - x_{\min}}{x_{\max} - x_{\min}} \right]; \quad f = \left[ 2^{k-1} \frac{y_{ij}^{(k)} - y_{\min}}{y_{\max} - y_{\min}} \right]; \quad [\bullet] - \text{ціла частина.}$$

Для  $k = 1$  вважаємо

$$z_{ef}^{(k-1)} = \frac{1}{N} \sum_{s=1}^N \zeta_s.$$

На кожній ітерації масив  $\{z_{ij}^{(k)}; i, j = 0, \overline{2^k - 1}\}$  підлягає згладжуванню. Остаточно  $z_{ij}^{(k)}$  набуває значення:

$$z_{ij}^{(k)} = \begin{cases} \frac{1}{9} \sum_{a=i-1}^{i+1} \sum_{b=j-1}^{j+1} z_{ab}^{(k)}; & (i \in [1; 2^k - 2]) \cup (j \in [1; 2^k - 2]); \\ \frac{1}{4} \sum_{a=i}^{i+1} \sum_{b=j}^{j+1} z_{ab}^{(k)}; & (i = 0) \cup (j = 0); \\ \frac{1}{4} \sum_{a=i}^{i+1} \sum_{b=j-1}^j z_{ab}^{(k)}; & (i = 0) \cup (j = 2^k - 1); \\ \frac{1}{4} \sum_{a=i-1}^i \sum_{b=j}^{j+1} z_{ab}^{(k)}; & (i = 2^k - 1) \cup (j = 0); \\ z_{ij}^{(k)} = \begin{cases} \frac{1}{4} \sum_{a=i-1}^i \sum_{b=j-1}^j z_{ab}^{(k)}; & (i = 2^k - 1) \cup (j = 2^k - 1); \\ \frac{1}{6} \sum_{a=i}^{i+1} \sum_{b=j-1}^{j+1} z_{ab}^{(k)}; & (i = 0) \cup (j \in [1; 2^k - 2]); \\ \frac{1}{6} \sum_{a=i-1}^i \sum_{b=j-1}^{j+1} z_{ab}^{(k)}; & (i = 2^k - 1) \cup (j \in [1; 2^k - 2]); \\ \frac{1}{6} \sum_{a=i}^{i+1} \sum_{b=j}^{j+1} z_{ab}^{(k)}; & (i \in [1; 2^k - 2]) \cup (j = 0); \\ \frac{1}{6} \sum_{a=i}^{i+1} \sum_{b=j-1}^j z_{ab}^{(k)}; & (i \in [1; 2^k - 2]) \cup (j = 2^k - 1). \end{cases} \end{cases}$$

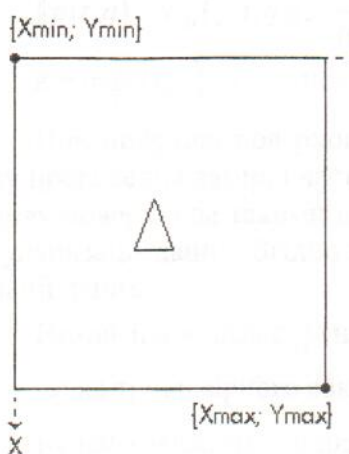
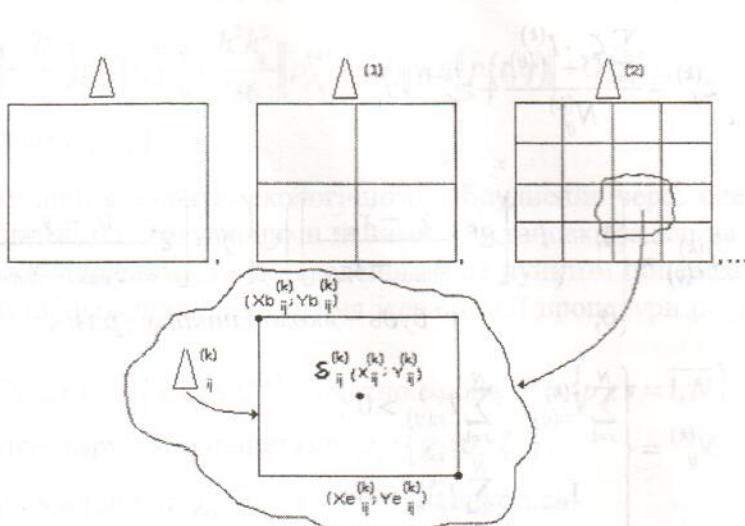
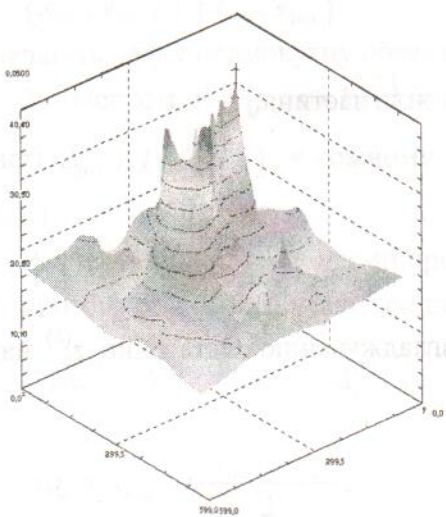
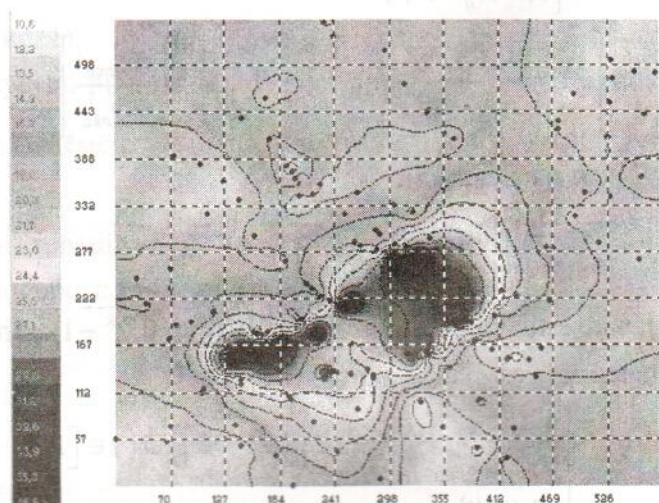
Рис. 1. Прямокутна область  $\Delta$ 

Рис. 2. Ітераційне розбиття

Рис. 3. Просторова модель потужності  $\gamma$ -випромінюванняРис. 4. Модель потужності  $\gamma$ -випромінювання (проекція на площину)Рис. 5. Модель місцевості з нанесенням потужності дози  $\gamma$ -випромінювання

Отже, на кожній ітерації одержуємо двовимірний масив точок з координатами

$$\{x_{ij}^{(k)}; y_{ij}^{(k)}; z_{ij}^{(k)}\}, i, j = 0, \overline{2^k - 1}.$$

При цьому величина  $z_{ij}^{(k)}$ , з урахуванням апріорного масиву  $P = \{\rho_s ; s = 1, \overline{N}\}$ , є усередненим значенням функції  $z = f(x, y)$  в області  $\Delta_{ij}^{(k)}$ .

Процес проведення ітераційного розбиття прямокутної області  $\Delta$  може бути завершений після досягнення величини  $k$  деякого визначеного наперед значення.

Зазначені математичні підходи дозволили розробити інформаційну технологію, яка увійшла до складу створеного програмного забезпечення побудови макетів місцевості з нанесенням вмісту різних речовин забруднення. Програмні засоби розроблялися у середовищі компілятора Delphi5 з використанням компонентів та драйверів DirectX8, які можуть застосовуватися як окремо, так і у складі системи оперативного аналізу та прогнозування за результатами моніторингу.

Прикладом реалізації наведеної процедури є аналіз потужності експоненціальної дози  $\gamma$ -випромінювання на висоті 1 м від поверхні ґрунту на місцевості  $6 \times 6$  км за нерегулярними даними. Результатом обробки даних є просторова модель (рис. 3). Зрозуміло, що набагато інформативнішим для опрацювання є подання моделі у вигляді відповідної карти ізоліній або оцифрованих карт вмісту концентрації речовини. Останнє неважко виконати (рис. 4), спроектувавши реалізацію поданої моделі на площину. Місця проведення замірів вказано точками. По кожній з осей у кожній одиниці відкладено – 0,01 км, зліва – шкала концентрації речовини в мікрорентгенах за 1 год.

Проте найбільшої інформативності можемо досягнути, якщо проведемо проектування моделі не на площину, а безпосередньо на побудовану модель місцевості. Дані з наведеного прикладу спостерігалися поблизу хвостосховища радіоактивних відходів. Для одержання макету місцевості проводилася оцифровка карти місцевості з наступним їхнім поповненням за використанням локального сплайну, після чого на модель рельєфу місцевості було накладено результати опрацювання нерегулярних даних спостережень (рис. 5). Аналіз результатів обробки даних на основі сплайну  $S_{2,0}(p, t, q)$  та викладеної ітераційної процедури регуляризації показує високу адекватність відображення потужності  $\gamma$ -випромінювання стосовно місцевості.

Отже, зазначений підхід до побудови просторових моделей за результатами моніторингу є загальним для широкого класу задач, де виникає необхідність візуалізації поверхонь спостережень.

#### Список літератури

1. Приставка П.О. Застосування поліноміальних сплайнів двох змінних на основі В-сплайнів при опрацюванні результатів спостережень // Актуальні проблеми автоматизації та інформаційних технологій. – Д.: Навч. кн. – 2000. – Т.3. – С. 144–151.
2. Приставка П.О. Оцінка функції щільності розподілу двох змінних поліноміальним сплайном на основі В-сплайнів // Актуальні проблеми автоматизації та інформаційних технологій. – Д.: Навч. кн. – 2001. – Т.5. – С. 3–12.
3. Булана Т.М., Приставка П.О. Інформаційна технологія візуалізації просторової моделі рудного тіла // Зб. наук. пр. НГА України. – Д.: РІК НГА України. – 2001. – №12. Т. 1. – С. 210–217.

Стаття надійшла до редакції 10.06.02.